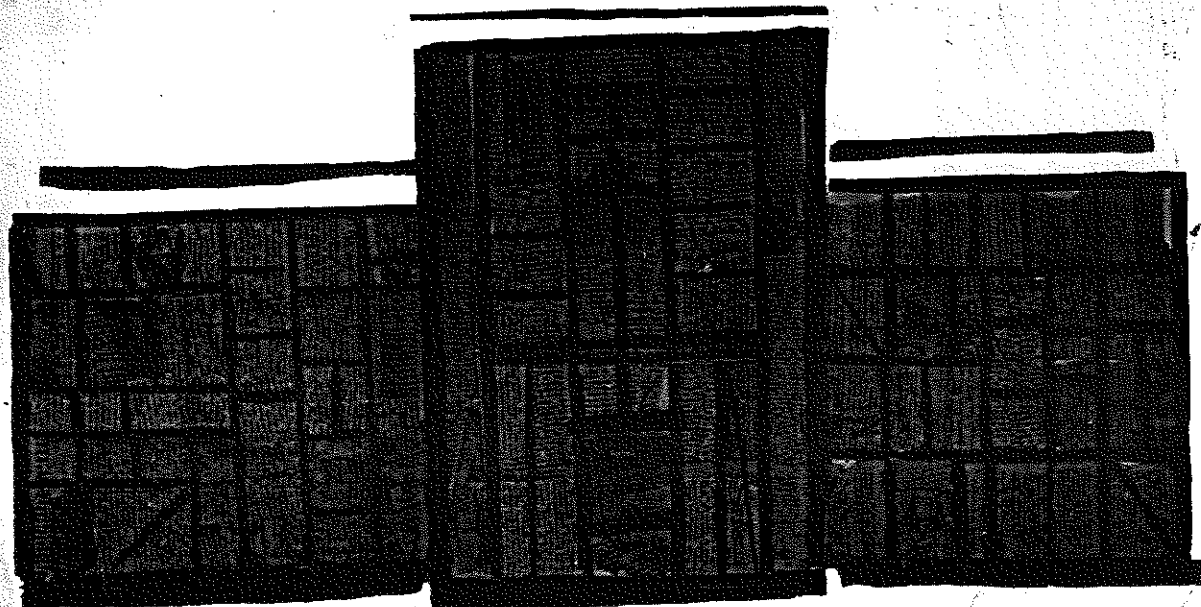


# **RESUMOS**

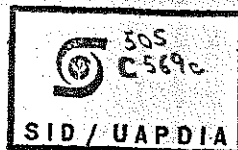
**REABILITAR  
REERGUER  
RECONSTRUIR  
RESTAURAR  
RECONSTITUIR  
RENOVAR  
RETOMAR  
A UNIVERSIDADE**

## **40a. REUNIÃO ANUAL**

**SOCIEDADE BRASILEIRA PARA O PROGRESSO DA CIÊNCIA**



\* 1 SET 1988



# CIÊNCIA E CULTURA

julho de 1988 volume 40 número 7 suplemento ISSN 0102-2474

## SUMÁRIO

### SEÇÃO A — CIÊNCIAS APLICADAS

A.1	— AGRONOMIA E ZOOTECNIA .....	5
A.2	— ARQUITETURA E URBANISMO .....	23
A.4	— ENFERMAGEM .....	30
A.5	— ENGENHARIA E TECNOLOGIA .....	
A.5.1	— Engenharia Civil .....	51
A.5.2	— Engenharia Elétrica .....	57
A.5.3	— Engenharia Mecânica .....	60
A.5.4	— Engenharia Química .....	63
A.5.4.1	— Engenharia e Tecnologia de Alimentos .....	65
A.5.5	— Engenharia de Minas e Metalurgia .....	75
A.5.6	— Engenharia de Produção e Sistemas .....	76
A.6	— MEDICINA .....	78
A.7	— ODONTOLOGIA .....	86
A.8	— COMPUTAÇÃO E SIMULAÇÃO .....	90
A.8.1	— Automática .....	92
A.9	— TELECOMUNICAÇÕES .....	95
A.10	— SAÚDE COLETIVA .....	98
A.11	— ERGONOMIA .....	124

### SEÇÃO B — CIÊNCIAS DO HOMEM

B.1	— ARTES E COMUNICAÇÕES .....	129
B.2	— ARQUEOLOGIA E ANTROPOLOGIA .....	141
B.3	— DEMOGRAFIA .....	150
B.4	— DIREITO .....	152
B.5	— ECONOMIA E ADMINISTRAÇÃO .....	155
B.6	— EDUCAÇÃO .....	167
B.7	— FILOSOFIA .....	228
B.8	— HISTÓRIA .....	230
B.9	— LINGÜÍSTICA E SEMIÓTICA .....	244
B.10	— LETRAS E LITERATURA .....	267
B.11	— SOCIOLOGIA .....	277
B.12	— POLÍTICA .....	305
B.13	— DOCUMENTAÇÃO E INFORMAÇÃO CIENTÍFICA .....	310
B.14	— HISTÓRIA E FILOSOFIA DA CIÉNCIA .....	312

### SEÇÃO C — CIÊNCIAS MATEMÁTICAS

C.1	— MATEMÁTICA .....	323
C.2	— ESTATÍSTICA .....	325

### SEÇÃO D — CIÊNCIAS DA MATÉRIA

D.1	— FÍSICA .....	
D.1.1	— Física Aplicada .....	329
D.1.2	— Física Atômica Molecular .....	339
D.1.3	— Física Matemática .....	342
D.1.4	— Física da Materia Condensada .....	348
D.1.5	— Física Nuclear .....	371

D.1.6	— Física das Partículas Elementares e Teoria Quântica de Campos .....	375
D.1.7	— Física de Plasmas .....	379
D.1.8	— Astrofísica e Cosmologia .....	391
D.1.9	— Ensino de Física .....	393
D.1.10	— Instrumentação .....	407
D.1.12	— Outros Campos da Física .....	414
D.1.13	— Física Médica .....	416
D.2	— QUÍMICA	
D.2.1	— Química Analítica .....	419
D.2.2	— Química Inorgânica .....	439
D.2.3	— Química Orgânica .....	472
D.2.4	— Físico-Química .....	513
D.2.5	— Química de Produtos Naturais .....	546
D.2.6	— Ensino de Química .....	584
D.2.7	— Química Aplicada .....	598
D.2.8	— Química Ambiental .....	623
D.2.9	— Instrumentação Química .....	628
D.2.10	— Química Teórica .....	631
<b>SEÇÃO E — CIÊNCIAS DO MEIO AMBIENTE</b>		
E.1	— ECOLOGIA .....	643
E.2	— POLUIÇÃO AMBIENTAL .....	664
<b>SEÇÃO F — CIÊNCIAS DA TERRA E DO UNIVERSO</b>		
F.1	— ASTRONOMIA .....	675
F.2	— GEOFÍSICA .....	677
F.3	— GEOLOGIA .....	685
F.4	— GEOGRAFIA .....	693
F.6	— OCEANOGRÁFIA .....	700
<b>SEÇÃO G — CIÊNCIAS DA VIDA</b>		
G.1	— BIOLOGIA	
G.1.1	— Biologia Molecular .....	709
G.1.2	— Citologia, Histologia e Embriologia .....	711
G.1.3	— Microbiologia .....	730
G.1.4	— Imunologia .....	742
G.1.5	— Fisiologia .....	745
G.1.6	— Genética e Evolução .....	752
G.1.7	— Farmacologia e Terapêutica Experimental .....	870
G.1.8	— Metabologia e Nutrição .....	876
G.1.9	— Parasitologia .....	881
G.1.10	— Botânica .....	889
G.1.11	— Zoologia .....	903
G.1.12	— Bioquímica .....	923
G.1.13	— Biofísica .....	926
G.2	— PSICOLOGIA .....	927
G.2.1	— Análise do Comportamento .....	960
G.3	— PSICANÁLISE .....	968
G.4	— PSICOBIOLOGIA .....	972
<b>ÍNDICE DE AUTORES</b> .....		1007

**NOTA**

Os resumos de trabalho são publicados a partir de fotografia dos originais encaminhados à Secretaria da SBPC.

356 D.1.4 Física da Materiais Condensada

-2.09 e  $g_y = 2.04$ ; estes são diferentes dos valores obtidos para o supercondutor  $\text{YBa}_2\text{Cu}_3\text{O}_{7-\delta}$  que são  $g_z = 2.15$  e  $g_y = 2.04$ . Distribuições de pressões aleatórias dentro dos materiais foram detectadas e simuladas numericamente em alguns casos, não podendo as diferenças dos  $g$ 's ser atribuídas a essas pressões. Concluimos que, ainda que de difícil explicação os espectros de RPE no supercondutor não podem ser totalmente atribuídos a impurezas do material "verde" ( $\text{Y}_2\text{BaCuO}_5$ ).  
5

28-D.1.4 CONSTRUÇÃO DE UM RESSOADOR PARA RESSONÂNCIA MAGNÉTICA NUCLEAR DUPLA. Bonagamba, T.J., Martins, M.J., Vidoto, Edson L.G., Moretto, Gilberto, Colnago, L.A.\*; Panepucci, H. (Instituto de Física e Química de São Carlos, Universidade de São Paulo (\*EMBRAPA)).

Para a obtenção de espectros de alta resolução em sólidos torna-se necessária a utilização da excitação simultânea de dois nucleos distintos, por exemplo, carbono e hidrogênio. Para isto estamos construindo ressoadores de dupla ressonância. Tais ressoadores devem ter as seguintes características: desacoplamento total entre as duas frequências, alta sensibilidade na frequência do nucleo de interesse e alta eficiencia na excitação de ambos os nucleos. Como as duas frequências de trabalho são muito distintas, utiliza-se linhas de transmissão de quarto de onda para o desacoplamento das mesmas. Porem, tais linhas introduzem perdas, os capacitores utilizados devem ser de alta tensão e corrente e o sistema é de difícil sintonia e acoplamento. Por esta razão estaremos analisando outras configurações, das quais se destaca a proposta por Doty et al.(1). Discutiremos as vantagens e desvantagens de cada uma das versões analisadas e apresentaremos os resultados preliminares por nós obtidos. (FINEP).

(1) Doty, F.D. et al, J. Magn. Res., 43, 399-416 (1981).

29-D.1.4 MAGNETÔMETRO NUCLEAR. Roberto Panepucci, Claudio José Magon, L.A. Colnago, H. Panepucci (Departamento de Física e Ciência dos Materiais, Instituto de Física e Química de São Carlos, USP, Caixa Postal 369 - 13.560 - São Carlos, SP e \*EMBRAPA).

Estamos desenvolvendo um magnetômetro destinado a medir campos magnéticos DC pouco intensos (< 1 Gauss). Este instrumento pode ser utilizado para medir o campo magnético terrestre com uma precisão suficiente para aplicações em Geofísica, Geologia e Arqueologia. O método consiste principalmente, na pre-polarização do sistema de spins nucleares de uma amostra de água pura (ou benzêno) em um campo intenso ( $B_p = 100 - 800$  Gauss), aplicado perpendicularmente ao campo terrestre ( $B_T$ ). Em seguida o campo de polarização é removido e a magnetização induzida na amostra  $H = \gamma B_T$  na bobina de pick-up cessa em torno de  $B_T$ , induzindo um sinal alternado de frequência  $\omega = \gamma B_T$  na bobina de pick-up. A frequência do sinal pode ser medida por meios convencionais e a partir daí o campo magnético terrestre é determinado diretamente (CNPq).

30-D.1.4 MICROIMAGENS. Tannus, A., Frare Jr, Pedro Luiz, Martins, M.J., Torre Neto, A., Donoso, J.P., Panepucci, H. (Departamento de Física e Ciência dos Materiais, Instituto de Física e Química de São Carlos, USP, Caixa Postal 369, 13.560 - São Carlos, SP).

O termo microimagens se refere às técnicas de obtenção de imagens com resolução submilimétrica, de objetos com diâmetro maior que 1 cm de diâmetro(1). Os objetivos da utilização de microimagens são vários, e vão desde a localização espacial de "chemical shift" em proporções submilimétricas ("magnetic microscopy") (2), que decorre da associação das técnicas de imagens e de espectroscopia de alta resolução, até o estudo de transporte de água e nutrientes em plantas através de medidas de translação molecular localizada, em associação com as técnicas de imagens contrastadas por estíptico de fluxo. As principais dificuldades são devidas à diminuição da relação sinal/ruído, à medida que se aumenta a resolução e se diminuem os volumes dos voxels (menores elementos de volume do objeto resolúveis numa imagem). Aproveitando a infraestrutura já existente em nosso laboratório, que conta com um protótipo de tomógrafo para pequenos objetos (~ 15 cm) (3), estamos desenvolvendo um sistema que permite a obtenção de microimagens. Estão sendo desenvolvidos os ressoadores de ESR (Ressonância Magnética Nuclear) na escala necessária (diâmetro ~ 3 mm) e sistemas de bobinas para geração de gradientes de campo magnético intenso (~ 5 Gauss/cm). Serão discutidas as dificuldades encontradas e os objetivos já alcançados. (FINEP, CNPq).

Bibliografia

- (1) Eccles, C.D. and Callaghan, P. T., J. Magn. Res. 68, 393-398 (1986).
- (2) Hall, L.O., Rajamayagam, V. and Sukumar, S., J. Magn. Res. 60, 199 (1984).
- (3) Tannus, A., Tese de Doutorado, IFQSC/USP, São Carlos, SP (1987).

31-D.1.4 RESSONÂNCIA MAGNÉTICA NUCLEAR EM ELETROLÍTOS SÓLIDOS DE TIPO POLIMÉRICO. J. P. Donoso, M. Goretti Cavalcante (Instituto de Física e Química de São Carlos, Universidade de São Paulo), G. Berthier, W. Gorecki (Lab. de Spectrometrie Physique, Grenoble, França).

Foram medidos os tempos de relaxação nuclear spin-redé ( $T_1$ ), spin-spin ( $T_2$ ) e spin-redé no sistema rotante ( $T_{12}$ ) do  $^1\text{H}$  e  $^{7}\text{Li}$  em função da temperatura (250 - 420 K) e da frequência de Larmor (8, 19 e 34 MHz) utilizando um espectrômetro de RMN pulsado, nos novos eletrolítos sólidos de tipo po-